Umsetzung von Iminiumsalzen mit 4-Benzylamino-1,2-naphthochinonen und unerwarteter Effekt in den ¹H-NMR-Spektren von Piperidiniumchloriden

Hans Möhrle^{a)*}, Gudrun Schulte Herbrüggen^{a)} und Alois Steigel^{b)}

Eingegangen am 18. September 1989

Die 4-aralkylaminsubstituierten 1,2-Naphthochinone 1 - 5 lassen sich unter definierten Bedingungen mit Methyleniminiumsalzen zu den protonierten 3-Aminomethylderivaten 6 - 22 umsetzen.

NMR-Untersuchungen an 16-HCl zeigen, daß die β -ständigen equatorialen Piperidinium-Ringprotonen bei höherem Feld in Resonanz treten als die axialen. Diese Umkehrung der Signallagen wurde auch bei N-Methyl- und N-Benzylpiperidiniumchlorid beobachtet.

Reaction of Iminium Salts with 4-Benzylamino-1,2-naphthoquinones and an Unexpected Effect in the ¹H-NMR-Spectra of Piperidinium Chlorides

The 4-aralkylamino substituted 1,2-naphthoquinones 1 - 5 react under defined conditions with methyleniminium salts to the protonated 3-aminomethyl derivatives 6 - 22.

NMR examination of 16 HCl shows the equatorial piperidinium protons in β position resonating at higher field than the axial ones. This reversal in chemical shift was also observed for N-methyl- and N-benzylpiperidinium chloride

Vor kurzem berichteten wir^{1,2)} über 1,2-Naphthochinone mit aliphatischer oder aromatischer Aminsubstitution in 4-Stellung, die als nucleophile Substrate sowohl für eine konventionelle *Mannich*-Reaktion als auch für die Umsetzung mit Methyleniminiumsalzen geeignet waren. Die Produkte der Umsetzungen wiesen sich dabei in jedem Fall als C-*Mannich*-Basen, d.h. formal substituierte Enamine, aus.

	R ¹	R ² R ³		C ₂ H ₅ C ₂ H ₅	\bigcirc	\bigcirc
1	C ₆ H ₅ CH ₂		6	7	8	9
2	C ₆ H ₅ -CH-CH ₃		10	11	12	13
3	(C ₆ H ₅) ₂ CH		14	15	16	17
4	н₃со{О}сн₂		18	19	20	21
	нзсо′					
5	F ₃ C-CH ₂		22			

Überraschenderweise zeigte sich beim Einsatz der entspr. 4-aralkylamin-substituierten Naphthochinone 1 - 5, die aus dem Natriumsalz der 1.2-Naphthochinon-4-sulfonsäure³⁾

bzw. aus 4-Ethoxy-1,2-naphthochinon⁴⁾ zugänglich waren, kein völlig gleichartiges Verhalten. Besonders das Benzylaminderivat 1 ergab bei der Umsetzung mit Formaldehyd und freiem Amin ein nicht aufzutrennendes Substanzgemisch²). Nur mit Methyleniminiumsalzen in wasserfreiem Acetonitril gelang schließlich unter exakter DC-Kontrolle eine gezielte Umsetzung zu den protonierten 3-Aminomethylderivaten 6 - 22, wobei eine Abhängigkeit der Reaktionsgeschwindigkeit von der Basizität des dem Carbenium-Salz zugrundeliegenden sekundären Amins festzustellen war. Die Stabilität der isolierten Salze der Mannich-Basen erwies sich jedoch als problematisch. So war beim Versuch einer Umkristallisation der Piperidino- und Morpholino-methyl-Salze von 16, 17, 20 und 21 in protischen Lösungsmitteln wie Ethanol eine Retro-Mannich-Reaktion⁵⁾ zu beobachten, was zum Ausfällen der Ausgangschinone 3 und 4 führte.

Beim Versuch der Reinigung des Hydrochlorids von 10 über die Extraktion der Base und anschließendem Fällen als Hydroperchlorat bildete sich fast quantitativ das primäre Amino-Derivat 23·HClO₄, das bereits früher durch direkte Aminomethylierung von 4-Amino-1,2-naphthochinon gewonnen worden war¹⁾.

Umfangreiche de Untersuchungen ergaben, daß durch Einwirken der Lauge ein Teil der vinylogen Amidstruktur⁶⁾ zum Hydroxyderivat 24⁷⁾ verseift wurde. Die Hauptmenge der mit Chloroform extrahierbaren Base blieb intakt und wurde erst durch Säure beim Einengen i. Vak. (Wasserbadtemp. ca. 60°C) gespalten. Die Bildung einer Carbonylverbindung läßt sich dabei nur durch Hydrolyse einer intermediär durch Dehydrierung gebildeten Acetophenoniminstruktur 25 erklären.

a) Institut für Pharmazeutische Chemie

b) Institut für Organische Chemie und Makromolekulare Chemie, Universität Düsseldorf, Universitätsstraße 1, 4000 Düsseldorf 1

Während die spektroskopische Charakterisierung von Salzen der *Mannich*-Basen mit Hilfe von ¹H-NMR-Spektren bzw. z.T. auch ¹³C-NMR-Spektren in Acetonitril-d₃ möglich war, wurde das Hydrochlorid der Piperidinomethylverbindung **16** aufgrund besserer Löslichkeit in CDCl₃

vermessen. In diesem ¹H-NMR-Spektrum (Abb. 1) zeigte sich ein deutlich erkennbares Aufspaltungsmuster der Ringprotonen des protonierten Piperidinringes, was sonst in DMSO-d₆ oder Acetonitril-d₃ nie in dem Maße beobachtet werden konnte.

Durch umfangreiche Spinentkopplungsexperimente wurde nachgewiesen, daß bei $16 \cdot HCl$ die zum Piperidinium-N β -ständigen equatorialen Ringprotonen bei höherem Feld in Resonanz treten als die axialen, was im Widerspruch zu bisherigen Befunden⁸⁾ steht. Das unsymmetrische "Triplett" bei 1.84 ppm kommt durch Überlagerung der breiten Dubletts der equatorialen β - und γ -Protonen zustande.

Um festzustellen, ob es sich hier um einen Ausnahmefall handelt oder ob evtl. grundsätzliche Berichtigungen notwendig sind, wurden als protonierte Piperidinsysteme die Hydrochloride von Benzylpiperidin 26, Methylpiperidin 27 und Piperidin 28 als Modellsubstanzen spektroskopisch untersucht.

Im Gegensatz zur Aussage von Lambert und Goldstein⁸⁾ ließen unsere Tieftemp.-Spektren des Piperidinhydrochlorids (28·HCl) bei 300 MHz keine Aufspaltung für die axialen und equatorialen β -Protonen (3,5-H) erkennen. Stattdessen wird ein schmales Signal bei 1.84 ppm beobachtet, das auch das equatoriale γ -Proton 4-H_{eq} beinhaltet.

Da die in der Lit.⁸⁾ angegebenen Aufspaltungen den Piperidin-Werten sehr ähneln, könnte eine Erklärung für die unterschiedlichen Befunde im hygroskopischen Charakter des Piperinhydrochlorids und seiner Schwerlöslichkeit in Methylenchlorid zu finden sein. Die von Lambert und Goldstein⁸⁾ durchgeführten, jedoch nur kurz erwähnten Berechnungen lassen daher eine gewisse Rolle des elektrischen Feldeffektes durchaus als möglich erscheinen.

Das Fehlen einer beobachtbaren Aufspaltung (< 0.03 ppm) bringt das Piperidinhydrochlorid in die Nähe des Tetrahydropyrans, für das mittels Tieftemp.-Untersuchungen

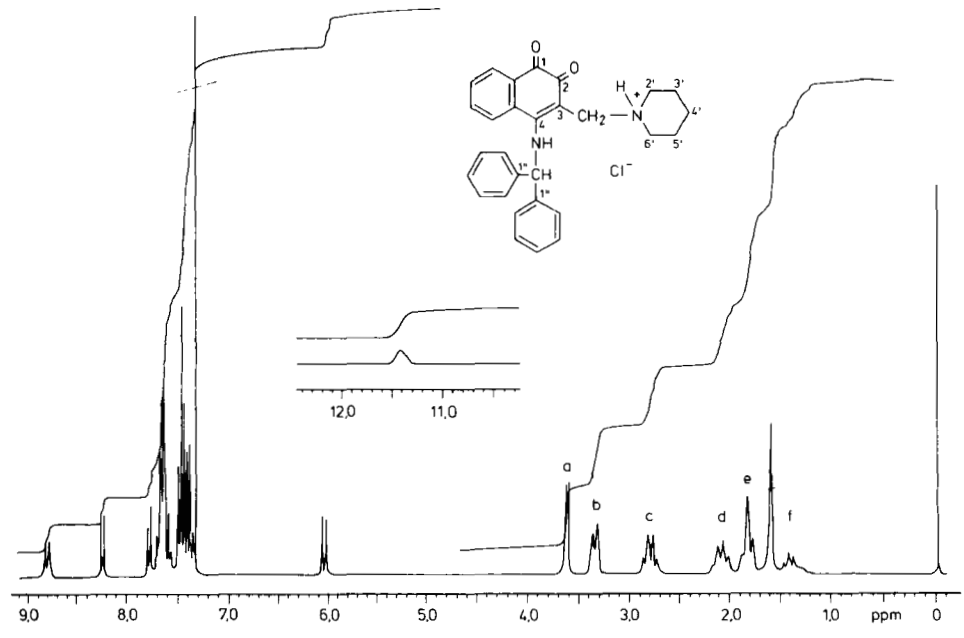


Abb. 1: 1H-NMR-Spektrum von 16·HCl in CDCl₃ (250 MHz)

Tab. 1

	Ermittelt Δαx-eq(β) (ppm;CDCl ₃)	Literatur ⁸ Δαx-eq(β) (ppm; CH ₂ Cl ₂)
16 · нсі	- 0,30	
26 · нсі	- 0.34	
27 · нст	- 0.30	
28 · нсі	< 0.03 ^a	+ 0.16

^a CD₂Cl₂; Halbwertsbreite des gemeinsamen Signals bei -90°C: 0,03 ppm.

von deuterierten Derivaten⁹⁾ eine sehr kleine Aufspaltung (-0.074 ppm) gefunden wurde.

Wie Tab. 1 zeigt, wird durch Einführung einer equatorialen N-Methyl- oder N-Benzylgruppe eine weitere Verschiebung bewirkt, so daß wie bei 16·HCl eine klar ausgeprägte Umkehrung der chemischen Verschiebung resultiert.

Der beobachtete unerwartete Effekt zeigt eine interessante Analogie zum 1,3-Dioxan¹⁰⁾, dessen Protonen in Position 5 eine noch größere Anomalie¹¹⁾ in der chemischen Verschiebung aufweisen.

Herrn Dr. J. Kurz, Bayer AG Wuppertal, danken wir für die Aufnahme von ¹H-, ¹³C-NMR-Spektren sowie für zahlreiche Entkopplungsexperimente, Herrn Prof. Dr. K. Hartke für ein 400 MHz ¹H-NMR-Spektrum und dem Fonds der Chemischen Industrie für die finanzielle Unterstützung unserer Arbeiten.

Experimenteller Teil

Schmp.: Linström, unkorr.- IR-Spektren: Perkin-Elmer 177.- ¹H-NMR-Spektren: Varian FT-80A (80 MHz); Bruker AM-250 (250 MHz), Bayer AG Wuppertal; Varian VXR-300 (300 MHz), Inst. f. Org. Chemie der Universität Düsseldorf; Jeol GX-400 (400 MHz), Inst. f. Pharm. Chemie der Universität Marburg.- ¹³C-NMR-Spektren: Varian FT-80A (20 MHz); Bruker AM-250 (63 MHz), Bayer AG Wuppertal; Jeol GX-400 (100 MHz), Inst. f. Pharm. Chemie der Universität Marburg; int. Standard TMS.- Massenspektren: Finnigan 3500, 70 eV. Weitere exp. Angaben, insbes. spektroskopische Daten vgl.²⁾.

4-Benzylamino-1,2-naphthalindion (1)

Aus 4-Ethoxy-1,2-naphthochinon und frisch destilliertem Benzylamin nach Lit. 12 . Rotorange, goldglänzende Schuppen aus Ethanol. Schmp. 208-210°C (Lit. 3,12): 205-208°C). Ausb. 48%.- 1 H-NMR (DMSO-d₆): δ (ppm) = 9.01 (t, br; 1H, NH, aust.); 8.25-8.03 (m; 1H, 8-H); 8.00-7.56 (m; 3H, 5,6,7-H); 7.41-7.19 (m; 5H, C₆H₅); 5.68 (s; 1H, 3-H); 4.64 (d; 2H, -NH-CH₂-, 3 J_(NH,CH) = 6.0 Hz, nach D₂O s).- 13 C-NMR (DMSO-d₆): δ (ppm) = 181.59 (s, C-1); 174.84 (s; C-2); 154.80 (s; C-4); 137.40 (s; C-1); 134.24 (d; C-naphthyl); 131.21 (s, d; C-4a oder C-8a; C-naphthyl); 130.81 (s; C-4a oder C-8a); 128.53, 127.83, 127.16, 126.95, 123.30 (d; C-naphthyl, C-phenyl); 99.00 (d; C-3); 46.09 (t; -NH-CH₂-).

4-a-Methylbenzylamino-1,2-naphthalindion (2)

In Anlehnung an Lit.³⁾ aus dem Natriumsalz der 1,2-Naphthochinon-4sulfonsäure und α-Methylbenzylamin; beim Eintropfen des in wenig Ethanol aufgenommenen Amins in die Lösung des Natriumsalzes der 1,2-Naphthochinon-4-sulfonsäure fällt sofort ein fein amorpher, orangefarbener Niederschlag aus, der jedoch nach 10 min schon von violetten Kristallen umhüllt wird. Nach einigem Stehen im Kühlschrank erhält man einen abfiltrierbaren Niederschlag, der zur Beseitigung der violetten Verunreinigung mehrmals mit 0.1 N NaOH gewaschen wird. Kräftig rote Kristalle aus Ethanol/Ligroin. Schmp. 208-210°C. Ausb. 45%.- IR (KBr): $\tilde{v}/\text{cm}^{-1} = 3290$ (NH); 3065, 3030, 2980, 2935, 1695 (CO); 1615 sh, 1595 (O=C-C=C-NH; C=C).- 1 H-NMR (DMSO- d_{6}): δ (ppm) = 8.46-8.26 ("d"; 2H, 8-H, NH breit darunterliegend, aust.); 7.97-7.53 (m; 3H, 5,6,7-H); 7.46-7.22 (m; 5H, $C_{6}H_{5}$); 5.54 (s; 1H, 3-H); 4.94 (Quintett; 1H, -NH-CH(CH₃), ${}^{3}J_{(NH,CH)} =$ 6.3 Hz, nach D_2O q, $^3J = 6.8$ Hz); 1.63 (d; 3H, -NH-CH(CH₃), $^3J = 6.8$ Hz).- 13 C-NMR (DMSO-d₆), C-H-gekoppelt): δ (ppm) = 181.53 (m; C-1); 175.06 (s; C-2); 154.07 ("s"; C-4); 143.47 (m; C-1); 134.10, 131.16 (d*; 2 C-naphthyl); 130.81 (s; C-4a/C-8a**); 128.62, 127.82, 127.12, 125.83, 123.87 (d; C-naphthyl, C-phenyl); 99.87 (d; C-3, ${}^{1}J_{(C,3-H)} = 158.9$ Hz, angespalten als d, ${}^3J_{(C,H)} = 5.5$ Hz); 53.05 (d; -NH-CH(CH₃), ${}^1J_{(C,H)} = 137.6$ Hz, angespalten als "d", "J" = 8.8 Hz); 23.13 (q; -NH-CH(CH₃), $^{1}J_{(C,H)} = 126.6$ Hz, angespalten als d, $^{2}J_{(C,H)} = 3.9$ Hz); $^{\bullet}$ Die Signale zeigen weitere Aufspaltungen, die jedoch wegen Überlagerung nicht auswertbar sind. ** Keine Entscheidung möglich, ob beide s zusammenfallen, oder sich eines unter einem weiteren Aromatensignal befindet.- MS (150°C): m/z (rel.Int./%) = 277 (4; M^+), 276 (1), 262 (3), 234 (2), 105 (100), 102 (20), 90 (6), 77 (10).- C₁₈H₁₅NO₂ (277.3) Ber. C 78.0 H 5.45 N 5.1 Gef. C 78.0 H 5.44 N 4.8.

4-Diphenylmethylamino-1,2-naphthalindion (3)

Analog 2 aus dem Natriumsalz der 1,2-Naphthochinon-4-sulfonsäure und Aminodiphenylmethan; beim Eintropfen des in wenig Ethanol aufgenommenen Amins in die Lösung des Natriumsalzes der 1,2-Naphthochinon-4-sulfonsäure bildet sich sofort ein oranger, amorpher Niederschlag, der schnell von einem braunen Öl umhüllt ist. Nach dem Abnutschen wird mehrmals mit Ether als auch mit Petrolether (60/80°C) gewaschen. Orangegelbe Nadeln aus Ethanol. Schmp. 220-222°C. Ausb. 47%.- IR (KBr): \tilde{v} /cm⁻¹ = 3260 br (NH); 3060, 3020; 1690 (CO); 1605, 1580 (O=C-C=C-NH; C=C),- 1 H-NMR (DMSO-d₆): δ (ppm) = 8.63 (d; 1H, NH, aust.); 8.46-8.35 (m; 1H, 8-H); 8.04-7.65 (m; 3H, 5,6,7-H); 7.48-7.27 (m; 10H, 2 C_6H_5); 6.21 (d; 1H, -NH-CH<, ${}^3J_{(NH,CH)} = 7.5$ Hz, nach D_2O s); 5.77 (s; 1H, 3-H).- 13 C-NMR (DMSO-d₆): δ (ppm) = 181.38 (s; C-1); 175.48 (s; C-2); 154.25 (s; C-4); 140.45 (s; 2 C-1); 134.11 (d; C-naphthyl); 131.10 (s, d; C-4a oder C-8a; C-naphthyl); 130.78 (s; C-4a oder C-8a); 128.51, 127.86, 127.53, 124.28 (d; C-naphthyl, C-phenyl); 100.19 (d; C-3); 60.56 (d; -NH-CH<).- MS (200°C): m/z (rel.Int./%) = 339 (5; M^+), 311 (<1), 263 (2), 167 (100), 165 (32), 152 (23), 102 (24).- C₂₃H₁₇NO₂ (339.4) Ber. C 81.4 H 5.05 N 4.1 Gef. C 81.4 H 5.10 N 4.3.

4-(3,4-Dimethoxybenzylamino)-1,2-naphthalindion (4)

Analog 1; 4-Ethoxy-1,2-naphthochinon wird im Ultraschallbad in Ethanol gelöst und mit 3,4-Dimethoxybenzylamin, welches in wenig Ethanol aufgenommen wird, versetzt. Die Lösung färbt sich innerhalb von 2 min kirschrot, dann dunkelrot. Nach ca. 10 min fällt ein orangefarbener Niederschlag aus, welcher nach dem Abnutschen gründlich mit Petrolether (60/80°C) gewaschen wird. Orange Kristalle aus Ethanol unter Zusatz von Chloroform. Schmp. 220-222°C. Ausb. 37%.- IR (KBr): \tilde{V} cm⁻¹ = 3295 (NH); 3065, 2950, 2830; 1690 (CO); 1610, 1585 (O=C-C=C-NH; C=C); 1260.- 1 H-NMR (DMSO-d₆, 400 MHz): δ (ppm) = 8.95 (t; 1H, N-H, 3 J_(NH,CH) ~ 5.2 Hz, aust.); 8.18 (d; 1H, 8-H, 3 J_(7,8) = 7.7 Hz); 7.98 (d; 1H, 5-H, 3 J_(5,6) = 7.7 Hz, leicht angespalten); 7.85 (t; 1H, 7-H, 4 , 3 J_(6,7) = 3 J_{7,8)} = 7.7 Hz, leicht angespalten); 7.69 (t; 1H, 6-H, 4 , 3 J_(5,6) = 3 J_(6,7) = 7.7 Hz; 4 Zuordnung von 6-H und 7-H vertauschbar; 5,6,7,8-H bilden ein ABCD-Spinsystem); 7.03 (s, br; 1H, 2'-H); 6.93 (d; 1H, δ_{a} , 5'-H, 2 J_{AB} = 7.9 Hz);

6.90 (d, br; 1H, δ_b , 6'-H); 5.65 (s; 1H, 3-H); 4.56 (d; 2H, -NH-C \underline{H}_2 -, $^{3}J_{(NH,CH)} = 5.2$ Hz, nach $D_{2}O$ s); 3.75 (s; 3H, -OCH₃); 3.73 (s; 3H, -OCH₃).- 13 C-NMR (DMSO-d₆, 100 MHz, C-H-gekoppelt): δ (ppm) = 181.63 (s; br, C-1, durch ³J_(C,3-H) und ³J_(C,8-H) verbreitert); 174.83 (s; C-2); 154.78 ("s"; C-4); 148.32 148.02 ("s"; C-3', C-4'); 134.28 (dd; C-naphthyl, $^{1}J = 164.0 \text{ Hz}, ^{3}J = 7.6 \text{ Hz}$; 131.26 (dd; C-naphthyl, $^{1}J = 164.8 \text{ Hz}, ^{3}J = 7.6$ Hz); 131.26 ("t"; C-8a, $^{3}J = 6.9$ Hz); 130.90 (m; C-4a); 129.65 (m; C-1'); 127.87 (dd; C-naphthyl, ${}^{1}J = 164.4 \text{ Hz}$, ${}^{3}J = 7.3 \text{ Hz}$); 123.35 (dd; C-naphthył, ${}^{1}J = 161.8 \text{ Hz}$, ${}^{3}J = 7.6 \text{ Hz}$); 119.18 (d; C-6'**, ${}^{1}J = 160.2 \text{ Hz}$, m als Feinstruktur); 111.78 (d; C-5', ¹J = 159.5 Hz); 111.14 (d; C-2'**, ¹J ~ 160 Hz, m als Feinstruktur); 99.05 (dd; C-3, ${}^{1}J = 159.1$ Hz, ${}^{3}J = 6.5$ Hz); 55.48 (q; 2 $-OCH_3$, ${}^{1}J = 144.2 \text{ Hz}$); 46.02 (dt; $-NH-CH_2-$, ${}^{1}J = 141.9 \text{ Hz}$); Zuordnung an Hand von Inkrementberechnungen.- MS (200°C): m/z $(rel.Int./\%) = 323 (<1; M^+), 292 (<1), 172 (8), 151 (100), 107 (17), 102$ (18), 77 (15), 31 (12).- C₁₉H₁₇NO₄ (323.3) Ber. C 70.6 H 5.30 N 4.3 Gef. C 70.5 H 5.24 N 4.4.

4-(4-Trifluormethylbenzylamino)-1,2-naphthalindion (5)

Analog 4; 4-Ethoxy-1,2-naphthochinon wird mit Ultraschall in wenig Ethanol gelöst und mit 4-Trifluormethylbenzylamin, welches mit wenig Ethanol verdünnt wurde, versetzt. Die Farbe der Lösung vertieft sich über orange nach dunkelrot-braun. Nach ca. 10 min beginnen sich Kristalle abzuscheiden, welche aus der mittlerweile grünen Lösung abfiltriert werden. Hellorange, feine Nadeln aus Ethanol. Schmp. 213-215°C. Ausb. 48%.- IR (KBr): \tilde{v}/cm^{-1} = 3330 (NH); 3070, 2930; 1695 (CO); 1590, 1550 $(O=C-C=C-NH; C=C); 1330.^{-1}H-NMR (DMSO-d_6): \delta (ppm) = 9.03 (t, br;$ 1H, N-H, aust.); 8.25-8.06 (m; 1H, 8-H); 8.02-7.54 (m; 7H, 5,6,7-H, C₆H₄, das AB-System des Trifluormethylphenylrestes wird z.T. von den Naphthylprotonen überdeckt); 5.57 (s; 1H, 3-H); 4.75 (d; 2H, -NH-CH₂-, ³J_(NH,CH) = 5.5 Hz, nach D_2O s).- ¹³C-NMR (DMSO-d₆): δ (ppm) = 181.48 (s; C-1); 175.07 (s; C-2); 154.82 (s; C-4); 142.39 (s; C-1', angespaiten als d, "J" = 1.3 Hz); 134.31, 131.28 (d; 2 C-naphthyl); 130.23 (s; C-4a oder C-8a); 129.85 (s, q^{*}; C-4', ${}^{2}J_{(C,F)} = 46$ Hz); 128.60 (s; C-4a oder C-8a); 127.92 (d; C-naphthyl); 127.76 (d, s*; C-2', C-6'); 125.42 (d, q*; C-3', C-5', ${}^{3}J_{(C,F)} = 4$ Hz); 123.37 (d; C-naphthyl); 121.80 (s, q*; - \mathbb{C} F₃, $^{1}J_{(\mathbb{C},\mathbb{F})} \sim 268$ Hz); 99.09 (d; C-3); 45.62 (t; -NH-CH2-); Das Spinsystem ergibt sich durch die C-F-Kopplung.- MS (160°C): m/z (rel.Int./%) = 331 (11; M^+), 330 (7), 302 (4), 159 (52), 145 (13), 102 (100), 76 (51), 69 (10), 51 (33).- C₁₈H₁₂F₃NO₂ (331.3) Ber. C 65.3 H 3.65 N 4.2 Gef. C 65.1 H 3.53 N 4.1.

Umsetzung von 4-Amino-1,2-naphthochinonen 1 - 6 mit Methyleniminiumsalzen (AV 1)

5 mmol Methyleniminiumsalz und 5 mmol des Aminonaphthochinons werden mit einer möglichst geringen Menge wasserfreien Acetonitrils versetzt und je nach Reaktionsverlauf bis zu 2 h bei Raumtemp. gerührt. Z.T. fällt das Salz der Mannichbase direkt aus und wird nach Abnutschen und Waschen mit Ether umkristallisiert.

Häufig wird der Ansatz jedoch aufgrund der schlechten Löslichkeit der Aminonaphthochinone in Suspension durchgeführt, so daß es im Verlauf der Reaktion zu einer Umfällung kommt. Das resultierende Produkt bedarf dann zumeist einer Aufarbeitung, welche bei den einzelnen Verbindungen beschrieben wird.

Überführung der Hydrochloride der Mannichbasen in deren Hydroperchlorate (AV 2)

Zu Reinigungszwecken werden die Hydrochloride der Mannichbasen in möglichst wenig Wasser gelöst, die Lösung wird filtriert und mit einer gesättigten, wäßrigen Lösung von NaClO₄ tropfenweise versetzt, woraufhin die entspr. Hydroperchlorate ausfallen.

[(4-Benzylamino-1,2-dihydro-1,2-dioxo-naphth-3-yl)-methyl]dimethyl-ammonium-perchlorat (6-HClO₄)

Nach AV 1; die Suspension von 1 und dem Dimethylmethyleniminiumsalz in Acetonitril wird 20 h bei Raumtemp, gerührt. Die resultierende dunkelrote Lösung wird zur Trockne eingeengt und der Rückstand nach AV 2 aufgearbeitet. Orange, glänzende Schuppen beim vorsichtigen Umkristallisieren aus Methanol. Schmp. 144-146°C. Ausb. 87%.- IR (KBr): $\tilde{v}/cm^{-1} = 3370-3180 \text{ (NH)}; 3050, 3020, 2750-2380; 1695 (CO); 1615 sh,$ 1590 (O=C-C=C-NH; C=C).- 1 H-NMR (CD₃CN): δ (ppm) = 8.14-7.95 (m; 1H, 8-H); 7.93-7.63 (m; 5H, 5,6,7-H, NH, N+H, aust.); 7.43 (s, br; 5H, C₆H₅); 4.88 (s, br; 2H, -NH-CH₂-C₆H₅, nach D₂O scharfes Signal); 4.16 (s; 2H, $-CH_2-N^+H-$); 2.62 (s; 6H, $N^+H(CH_3)_2$).- ^1H-NMR (DMSO-d₆, bei beginnender Zersetzung): δ (ppm) = 8.75 (s, br; 2H, NH, N⁺H, aust.); 8.14-7.52 (m; 4H, 5,6,7,8-H); 7.41 (s, br; 5H, C_6H_5); 4.92 (d; 2H, -NH- C_{H_2} - C_6H_5 , ${}^3J_{(NH,CH)} = 8.1$ Hz, nach D_2O s); 4.14 (s; 2H, $-CH_2-N^+H_-$); 2.66 (s; 6H, $-N^+H(CH_3)_2$). ¹³C-NMR (DMSO-d₆): δ (ppm) = war auf Grund der Zersetzlichkeit in DMSO nicht zu erhalten.- MS (220°C): m/z (rel.Int./%) = 277 (<1; M - C₂H₅N), 262 (3), 234 (2), 121 (10), 105 (35), 91 (100), 77 (52), 51 (36), 45 (95),- C₂₀H₂₁N₂O₂]⁺ClO₄⁻ (420.8) Ber. C 57.1 H 5.03 N 6.7 Gef. C 57.2 H 5.08 N 6.8.

[(4-Benzylamino-1,2-dihydro-1,2-dioxo-naphth-3-yl)-methyl]-diethyl-ammonium-perchlorat (7-HClO₄)

Analog 6·HClO₄ mit Chlormethyldiethylamin, 3 h Rühren. Intensiv rote, amorphe Substanz (in Lösung relativ instabil). Schmp. 127-129°C. Ausb. 31% (roh 90%).- C₂₂H₂₅N₂O₂]⁺ClO₄⁻ (448.9) Ber. C 58.9 H 5.61 N 6.2 Gef. C 59.0 H 5.73 N 6.1.

1-[(4-Benzylamino-1,2-dihydro-1,2-dioxo-naphth-3-yl)-methyl]-piperidinium-perchlorat (8-HClO₄)

Analog 6·HClO₄ mit Chlormethylpiperidin, 2 h Rühren. Orange, amorphe Substanz (in Lösung relativ instabil). Schmp. 131-133°C. Ausb. 39% (roh 78%).- C₂₃H₂₅N₂O₂]⁺ClO₄·0.4 H₂O (458.1) Ber. C 59.0 H 5.55 N 6.0 Gef. C 59.2 H 5.75 N 5.9. Da in Lösung z.T Umlagerung stattfindet, war die Herstellung einer verbrennungsreinen Charge problematisch.

4-[(4-Benzylamino-1,2-dihydro-1,2-dioxo-naphth-3-yl)-methyl]-morpholinium-perchlorat (9·HClO₄)

Analog 6·HClO₄ mit Chlormethylmorpholin; innerhalb von 45 min geht die Suspension in eine dunkelrote Lösung über, aus der 9·HCl auszufallen beginnt. Himbeerrote, amorphe Substanz durch vorsichtiges Umfällen aus Ethanol/Acetonitril mit Ether (in Lösung relativ instabil). Schmp. 139-142°C. Ausb. 40% (roh 90%).- C₂₂H₂₃N₂O₃]⁺ClO₄⁻ (462.9) Ber. C 57.1 H 5.01 N 6.1 Gef. C 56.9 H 4.78 N 6.1.

Aus 2 in 30 ml Acetonitril mit Dimethylmethyleniminiumsalz nach AV 1; die dunkelrote Lösung wird nach 3 h zur Trockne eingeengt und zur Abtrennung entstandener Methylenbisverbindung nach AV 2 aufgearbeitet. Orange Kristalle aus Ethanol, leicht hygroskopisch. Schmp. 136-137°C. Ausb. 65%.- IR (KBr): \bar{V} /cm⁻¹ = 3240 (NH); 2970, 2675; 1695 (CO); 1605 sh, 1585 (O=C-C=C-NH; C=C).- 1 H-NMR (DMSO-d₆): δ (ppm) = 8.72 (s, br; N-H, aust.); 8.06-7.80 (m; 2H, 5,8-H?); 7.78-7.57 (m; 2H, 6,7-H?); 8.10-7.50 (breit; 1H, N[†]-H, aust.); 7.55-7.13 (m; 5H, C₆H₅); 5.12 ("s", br; 1H, -NH-CH-C₆H₅, nach D₂O q*); 4.11 ("s", br; 2H, -CH₂-N[†]H(CH₃)₂, nach D₂O dd*); 2.57 (s?; 6H?, -N[†]H(CH₃)₂, von DMSO-Signal überlagert); 1.68 (d; 3H, -NH-CH-CH₃, 3 J = 6.5 Hz); $^{\bullet}$ Wegen der schlechten Auflösung war keine genaue Auswertung der Kopplungssysteme möglich- 13 C-NMR (DMSO-d₆, C-H-gekoppelt): δ (ppm) = 180.09 ("d"; C-1, 3 J_(C,8-H) $^{-4}$ Hz); 176.06 (m; C-2); 159.34 (d; C-4, 2 J_(C,H) $^{-5}$ Hz); 142.78 (m;

C-1'); 134.14, 131.73, 131.58 (d*; 3 C-naphthyl); 131.01 (s; C-4a oder/und C-8a**); 128.82, 127.90, 127.54, 126.34, 125.92 (d*; C-phenyl, C-naphthyl); 103.58 ("t"; C-3, $^2J_{(C,H)} \sim 5$ Hz); 57.74 (d; -NH-CH-CH₃, $^1J_{(C,H)} = 142.7$ Hz, angespalten als Quadruplett, $^2J_{(C,H)} \sim 2.5$ Hz); 52.14 (t; -CH₂-N⁺H(CH₃)₂, $^1J_{(C,H)} = 147.8$ Hz); 42.61 (q; -N⁺H(CH₃)₂, $^1J_{(C,H)} = 142.5$ Hz, zusätzliche feine Aufspaltung); 24.38 (q; -NH-CH-CH₃, $^1J_{(C,H)} = 130.8$ Hz, zusätzliche feine Aufspaltung); be Signale zeigen weitere Aufspaltungen, die jedoch wegen Überlagerung nicht auswertbar sinú.- Keine Entscheidung möglich, ob beide s zusammenfallen oder sich eines unter einem weiteren Aromatensignal befindet.- MS (200°C): m/z (rel.Int./%) = 277 (1), 276 (1), 262 (1), 234 (1), 105 (47), 104 (100), 102 (21), 77 (56), 45 (85).-C₂₁H₂₃N₂O₂]⁺ClO₄-0.5 H₂O (443.9) Ber. C 56.8 H 5.45 N 6.3 Gef. C 56.7 H 5.20 N 6.1.

[(1,2-Dihydro-4-\pi-methylbenzylamino-1,2-dioxo-naphth-3-yl)-methyl]-diethylammonium-perchlorat (11-HClO₄)

Analog 10·HClO₄ mit Chlormethyldiethylamin; 1 h Rühren. Die Umkristallisation gelingt nur aus reinstem Ethanol, wobei der erhaltene Niederschlag beim Abfiltrieren wegen der vorhandenen Hygroskopizität unter Ether gehalten werden muß, welcher vorsichtig i. Vak. entfernt wird. Orangerote Kristalle, hygroskopisch. Schmp. 106-108°C. Ausb. 12% (roh 90%).- C₂₃H₂₇N₂O₂][†]ClO₄⁻ (462.9) Ber. C 59.7 H 5.88 N 6.1 Gef. C 59.5 H 5.65 N 6.1.

1-[(1,2-Dihydro-4-\alpha-methylbenzylamino-1,2-dioxo-naphth-3-yl)-methyl]piperidinium-perchlorat (12·HClO₄)

Analog 10·HClO₄ mit Chlormethylpiperidin; 2 h Rühren. Karminrote Kristalle aus Ethanol/Ether. Schmp. 132-134°C. Ausb. 38% (roh 90%).-C₂₄H₂₇N₂O₂]⁺ClO₄⁻ (474.9) Ber. C 60.7 H 5.73 N 5.9 Gef. C 60.9 H 5.69 N 6.1.

4-[(1,2-Dihydro-4-\alpha-methylbenzylamino-1,2-dioxo-naphth-3-yl)-methyl]-morpholinium-perchlorat (13-HClO₄)

Analog 10·HClO₄ mit Chlormethylmorpholin; 10 min Rühren. Dunkelrote Kristalle aus Ethanol. Schmp. 125-127°C. Ausb. 43%.-C₂₃H₂₅N₂O₃]^{*}ClO₄⁻ (476.9) Ber. C 57.9 H 5.28 N 5.9 Gef. C 57.9 H 5.19 N 5.8.

[(4-Diphenylmethylamino-1,2-dihydro-1,2-dioxo-naphth-3-yl)-methyl]-dimethylammonium-chlorid (14-HCl)

Aus 3 in 50 ml Acetonitril nach AV 1; nach 1 h ist 3 in Lösung gegangen und 14·HCl fast quantitativ ausgefallen. Orangerote Kristalle aus Ethanol. Schmp. 158-160°C. Ausb. 64%.- IR (KBr): $\overline{\nu}$ cm⁻¹ = 3210 (NH); 3060, 3025, 2560, 2450; 1695 (CO); 1630, 1585, 1550 (O=C-C=C-NH; C=C).- H-NMR (DMSO-d₆): δ (ppm) = = ca. 9.9-9.3 (s, br; 1H, N+H, aust.); 8.32 (d, br; 1H, NH, 3 J_(NH,CH) ~ 9 Hz); 8.07-7.97 (m; 1H, 8-H); 7.75-7.33 (m; 13H, 5,6,7-H; 2 C₆H₅); 6.18 (d; 1H, -NH-CH(C₆H₅)₂, 3 J_(NH,CH) ~ 9 Hz, nach D₂O s); 4.04 (s, br; 2H, -CH₂-); 2.56-2.45 ? (-N+H(CH₃)₂, von DMSO überdeckt.- MS (180°C): m/z (rel.Int./%) = 396 (<1; M+), 351 (3), 322 (3), 295 (<1), 165 (30), 115 (30), 45 (100), 36 (89).- C₂₆H₂₅N₂O₂]+Cl (433.0) Ber. C 72.1 H 5.82 N 6.5 Gef. C 72.0 H 6.00 N 6.7.

[(4-Diphenylmethylamino-1,2-dihydro-1,2-dioxo-naphth-3-yl)-methyl]-diethylammonium-perchlorat (15-HClO₄)

Analog 14·HCl mit Chlormethyldiethylamin; nach 4 h wird die einheitlich verlaufende Reaktion abgebrochen, indem nicht umgesetztes 3 abfiltriert und die verbleibende Lösung zur Trockne eingeengt wird. Der Rückstand wird nach AV 2 aufgearbeitet. Das Umkristallisieren aus Ethanol
muß unter gelindem Erwärmen sowie mit Ultraschall vorgenommen werden, da sonst eine Spaltung in die Ausgangskomponenten eintritt. Orangerote Kristalle. Schmp. 123-126°C. Ausb. 8% (roh 40%).-

 $C_{28}H_{29}N_2O_2]^{+}CIO_4^{-}0.4 H_2O$ (532.2) Ber. C 63.2 H 5.64 N 5.3 Gef. C 63.3 H 5.85 N 5.1.

1-[(4-Diphenylmethylamino-1,2-dihydro-1,2-dioxo-naphth-3-yl)-methyl]-piperidinium-chlorid (16-HCl)

Analog 14·HCl mit Chlormethylpiperidin; 3 h Rühren; um eine Spaltung in die Ausgangsverbindungen zu vermeiden, muß vorsichtig aus Ethanol mit Ultraschall umkristallisiert werden. Feine, orange Nadeln. Schmp. 174-176°C. Ausb. 70%.- IR (KBr): $\tilde{v}/cm^{-1} = 3215$ (NH); 3060, 2945; 1695 (CO); 1645, 1595 (O=C-C=C-NH; C=C),- 1H-NMR (CDCI₃, 250 MHz): δ (ppm) = 11.41 (s, br; 1H, N⁺H, aust.); 8.74 (d; 1H, NH, $^{3}J_{(NH,CH)} = 9.7$ Hz, aust.); 8.17 (dd; 1H, 8-H, ${}^{3}J_{(7,8)} = 7.5$ Hz, ${}^{4}J_{(6,8)} = 1.5$ Hz); 7.72 (d; 1H, 5-H, ${}^{3}J_{(5,6)} = 7.8 \text{ Hz}$; 7.68-7.50, 7.44-7.29 (m; 12H, 6,7-H; 2 C₆H₅); 5.99 (d; 1H, -NH-CH(C_6H_5)₂, ${}^3J_{(NH,CH)} = 9.7$ Hz); 3.61 (d; 2H, -CH₂-, ${}^{3}J_{(N}^{+}H,CH) = 6.3 \text{ Hz}$; 3.33 ("d"; 2H, 2',6'-H_{2 eq}, ${}^{2}J = 12.0 \text{ Hz}$); 2.80 ("q"; 2H, 2',6'- $H_{2 ax}$, $^{2}J \sim 12 Hz$, * $^{3}J_{vic ax ax} \sim 11.1 Hz$); 2.10 ("q"; 2H, 3',5'- H_{2} $_{ax}$, $^{2}J = 13.5 \text{ Hz}$, $^{3}J_{vic}$ $_{ax}$ $_{ax} = 12.9 \text{ Hz}$); 1.89-1.60 ("t"; 3H, 3',5'-H_{2 eq}; 4'-H_{eq}); 1.39 ("q"; 1H, 4'-H_{ax}, "J" ~ 13 Hz, angespalten als "t". Die Auswertung der Kopplungssysteme erfolgte nach den für Systeme 1. Ordnung geltenden Maßregeln, wobei jedoch eine höhere nicht ausgeschlossen werden kann.- Einstrahlen bei 2.10 ppm (3',5'-Hax) (nur Aliphatenbereich): 3.61 (d; 2H, -CH₂-, unverändert); 3.33 ("d", 2H, 2',6'-H_{2 eq}); 2.80 ("t"; 2H, $2',6'-H_{2ax}$, Fortfall der ${}^{3}J_{vic\ ax\ ax}$); 1.89-1.60 ("?"; 3H, 3',5'- H_{2eq} , 4'- H_{eq}); 1.39 ("d"; 1H, 4'-Hax, Fortfall der ³J_{vic ax ax}).- Einstrahlen bei 1.3 ppm (4'-H_{ax}): 3.61 (d; 2H, -CH₂-, unverändert); 3.33 ("d"; 2H, 2',6'-H_{2 eq}, unverändert); 2.80 ("q"; 2H, 2',6'-H_{2 ax}, unverändert); 2.10 ("t"; 2H, 3',5'- $H_{2 \text{ ax}}$, Fortfall der ${}^{3}J_{\text{vic ax ax}}$); 1.89-1.60 ("?"; 3H, 3',5'- $H_{2 \text{ eq}}$, 4'- H_{eq}).-Einstrahlen bei 2.80 ppm (2',6'-Hax): 3.61 (d; 2H, -CH2-, unverändert); 3.33 ("s"; 2H, 2',6'- H_2 eq, Fortfall der $^2J_{gem}$); 2.10 ("t"; 2H, 3',5'- H_2 ax, Fortfall der ³J_{vic ax ax}); 1.89-1.60 ("t"; 3H, 3',5'-H_{2 eq}, 4'-H_{eq}); 1.39 ("q"; 1H, 4'-H_{ax}, unverändert. 13 C-NMR (CDCl₃, 63 MHz, DEPT): δ (ppm) = 179.70 (s; C-1); 177.84 (s; C-2); 162.40 (s; C-4); 141.15 (s; C-1"); 134.72 (d; C-naphthyl); 132.16 (s, d; C-4a oder C-8a, C-naphthyl); 131.59 (s; C-4a oder C-8a); 129.61, 129.10, 128.86, 127.99, 127.82 (d; C-naphthyl, C-phenyl); 108.15 (s; C-3); 69.12 (d; -NH- \underline{C} H(C_6 H₅)₂); 52.53 (t; >- \underline{C} H₂-*); 50.75 (t; C-2', C-6'); 23.15 (t; C-3', C-5'); 22.09 (t; C-4'). * Zuordnung mit C,H-COSY-Spektrum.- MS (160°C): m/z (rel.Int./%) = 436 (<1; M^+), 351 (2), 322 (5), 165 (21), 115 (20), 85 (53), 84 (100), 36 (85), C₂₉H₂₉N₂O₂][†]Cl^{*} (473.0) Ber. C 73.6 H 6.18 N 5.9 Gef. C 73.6 H 6.05 N

4-[(4-Diphenylmethylamino-1,2-dihydro-1,2-dioxo-naphth-3-yl)-methyl]-morpholinium-chlorid (17·HCl)

Analog 14·HCl mit Chlormethylmorpholin; 2 h Rühren. Orangegelbe Kristalle beim vorsichtigen Umkristallisieren aus Ethanol. Schmp. 163-164°C. Ausb. 46% (roh 90%).- C₂₈H₂₇N₂O₃]⁺ClO₄⁻ (475.0) Ber. C 70.8 H 5.73 N 5.9 Gef. C 70.7 H 5.91 N 5.7.

{[4-(3,4-Dimethoxybenzylamino)-1,2-dihydro-1,2-dioxo-naphth-3-yl]-methyl}-dimethylammonium-perchlorat(18-HClO₄)

Aus 4 in 40 ml Acetonitril mit Dimethylmethyleniminiumchlorid nach AV 1; die nach 1 h entstandene rote Lösung wird zur Trockne eingeengt und der Rückstand nach AV 1 aufgearbeitet. Orange Kristalle aus Ethanot, leicht hygroskopisch. Schmp. 130-134°C. Ausb. 35% (roh 95%).- IR (KBr): \overline{V} cm⁻¹ = 3365 (NH); 3165; 3070, 2960, 2930, 2835; 2730-2380 (HN⁺R₃); 1695 (CO); 1605, 1590 (O=C-C=C-NH; C=C); 1265.- ¹H-NMR (DMSO-d₆): δ (ppm) = ca. 9.5-8.4 (br; 2H, NH, N⁺H, aust.); 8.08-7.82 (m; 2H, 5,8-H); 7.80-7.52 (m; 2H, 6,7-H); 7.02-6.95 ("d"; 3H, 2',5',6'-H); 4.81 (d; 2H, -NH-CH₂-C₆H₃-, $\overline{^{3}J}$ _(NH,CH) = 5.8 Hz, nach D₂O s); 4.15 (s, br; 2H >-CH₂-N⁺H-); 3.74 (s; 6H, 2 -OCH₃); 2.67 (s, br; 6H, -N⁺H(CH₃)₂, nach D₂O scharf).- ¹H-NMR (CD₃CN): δ (ppm) = 8.14-7.69 (m; 6H, 5,6,7,8-H;

NH, N⁺H, aust.); 6.95 (s; 3H, 2',5',6'-H); 4.78 (d; 2H, -NH-C \underline{H}_2 -C₆H₃-, ³J_(NH,CH) = 5.3 Hz, nach D₂O s); 4.20 (s; 2H, >-C \underline{H}_2 -N⁺H-); 3.80, 3.79 (s; 6H, 2 -OC \underline{H}_3); 2.66 (s; 6H, -N⁺H(C \underline{H}_3)₂).- MS (200°C): m/z (rel.Int./%) = 298 (<1), 269 (<1), 182 (14), 165 (19), 151 (11), 78 (15), 44 (100).- C₂₂H₂₅N₂O₄]⁺ClO₄⁻ (480.9) Ber. C 55.0 H 5.24 N 5.8 Gef. C 54.7 H 5.73 N 5.5.

{[4-(3,4-Dimethoxybenzylamino)-1,2-dihydro-1,2-dioxo-naphth-3-yl]-methyl}-diethylammonium-perchlorat (19·HClO₄)

Analog 18·HClO₄ mit Chlormethyldiethylamin. Der Ansatz wird bei ständiger DC-Kontrolle zur Überprüfung der Bildung von Cyclisierungsprodukten ca. 1 h gerührt und die entstandene rote Lösung zur Trockne eingeengt. Der Rückstand wird nach AV 2 aufgearbeitet. Orange Kristalle aus Ethanol. Schmp. 124-127°C. Ausb. 10% (roh 50%).-C₂₄H₂₉N₂O₄]⁺ClO₄ (509.0) Ber. C 56.6 H 5.74 N 5.5 Gef. C 56.5 H 5.73 N 5.5.

1-{[4-(3,4-Dimethoxybenzylamino)-1,2-dihydro-1,2-dioxo-naphth-3-yl]-methyl}-piperidinium-perchlorat (20-HClO₄)

Analog 18·HClO₄ mit Chlormethylpiperidin; 30 min Rühren. Rote Schuppen aus Methanol/Ether (zu starkes Erwärmen führt zur Spaltung in die Ausgangsprodukte). Schmp. 119-124°C. Ausb. 35% (roh 80%).-C₂₅H₂₉N₂O₄][†]ClO₄⁻ (521.0) Ber. C 57.1 H 5.61 N 5.4 Gef. C 56.9 H 5.32 N 5.1.

4-{[4-(3,4-Dimethoxybenzylamino)-1,2-dihydro-1,2-dioxo-naphth-3-yl]-methyl]-morpholinium-chlortd (21·HCl)

Analog 18·HClO₄ mit Chlormethylmorpholin; das nach 2 h ausgefallene Hydrochlorid wird abfiltriert und unter gelindem Erwärmen aus Ethanol umkristallisiert. Bei Verwendung höherer Temp. wird z.T. die Ausgangsverbindung quantitativ zurückgewonnen. Orange Kristalle. Schmp. 150-152°C. Ausb. 59%.- C₂₄H₂₇N₂O₅]⁺Cl⁻ (458.9) Ber. C 62.8 H 5.93 N 6.5 Gef. C 62.6 H 5.87 N 6.2.

{[1,2-Dihydro-1,2-dioxo-4-(4-trifluormethylbenzylamino)-naphth-3-yl]-methyl}-dimethylammonium-chlorid (22·HCl)

Aus 5 in 50 ml Acetonitril mit Dimethylmethyleniminiumchlorid nach AV 1; innerhalb von 20 min geht 5 in Lösung unter einheitlicher Bildung von 22-HCl. Die rote Lösung wird sofort schonend eingeengt und der verbleibende Rückstand aus Ethanol/Ether umgefällt, wobei sich bei den meisten Reinigungsversuchen 22 rasch weiter umsetzte. Kräftig rote Kristalle, sehr hygroskopisch. Schmp.: ab 95°C Zers., welche bei 113°C in ein Aufschäumen übergeht. Ausb. 21%, schwer reproduzierbar.- IR (KBr): \tilde{V} /cm⁻¹ = auf breiter H₂O-Bande aufsitzend: 3270, 3210 (NH); 3020, 2955; 2745-2440 (HN⁺R₃); 1695 (CO); 1620, 1585 (O=C-C=C-NH; C=C).- ¹H-NMR (CD₃CN): δ (ppm) = ca. 10.8-10.5 (s, br; 1H, N⁺H, aust.); ca. 9.2-8.9 (s, br; 1H, NH, aust.); 8.06-7.55 (m; 8H, 5,6,7,8-H; C₆H₄); 5.08 (d, br; 2H, $-NH-CH_2-C_6H_4-$, ${}^3J_{(NH,CH)} = 5.8$ Hz, nach D_2O s); 4.28 (d; 2H, >-C H_2 - $N^{+}H^{-}$, ${}^{3}J_{(N^{+}H,CH)}^{+} = 5.4$ Hz, nach $D_{2}O$ s); 2.78 (d; 6H, $-N^{+}H(CH_{3})_{2}$, $^{3}J_{(N}^{+}_{H,CH)} = 5.4$ Hz, nach $D_{2}O$ s).- MS (150°C): m/z (rel.Int./%) = 388 (<1; M⁺), 344 (1), 330 (2), 186 (7), 173 (50), 159 (67), 145 (83), 59 (71), 50 (35), 45 (100), 36 (96).- $C_{21}H_{20}F_3N_2O_2$ C1 · 1.4 H_2O (450.1) Ber. C 56.0 H 5.11 N 6.3 Gef. C 56.3 H 5.42 N 7.5.

N-Benzylpiperidinium-chlorid (26·HCl)

Aus Benzylchlorid und Piperidin nach Lit. 13). Schmp. 174-176°C (178°C nach ¹³⁾). ¹H-NMR (CDCl₃ + 3% CF₃COOH, 300 MHz): δ (ppm) = 11.16 (s, br; 1H, N⁺H); 7.69-7.64 (m; 2H); 7.45-7.40 (\dot{m} ; 3H, C₆H₅); 4.24 (d; 2H, $-CH_2-N^+H_{-}$, ${}^3J_{(NH,CH)} = 5.3 \text{ Hz}$); 3.45 ("d"; 2H, 2,6- H_{eq} , ${}^2J = 11.9 \text{ Hz}$); 2.79 ("q"; 2H, 2,6- H_{yx} , $^2J \sim 12 Hz$, $^3J_{vic ax ax} \sim 12 Hz^*$); 2.20 ("q"; 2H, 3,5- H_{ax}) 2 J ~ 14 Hz, 3 J_{vic ax ax} ~ 12 Hz); 1.85 ("d"; 3H, 3,5-H_{eq}; 4-H_{eq}, "J" ~ 13 Hz); 1.43 ("q"; 1H, 4-H_{ax}, "J" ~ 12 Hz). Die Auswertung der Kopplungssysteme erfolgte nach den für Systeme 1. Ordnung geltenden Maßregeln, wobei jedoch die beobachtete Feinaufspaltung auf eine höhere Ordnung hinweist.-Einstrahlen bei 2.79 ppm (2,6-H_{ax}): 11.16 (s; 1H, N⁺H, Signal wird schärfer); 4.24 (d; 2H, $-CH_2-N^+H_-$); 3.45 ("s"; 2H, 2,6- H_{eq}); 2.20 ("t"; 2H, 3,5-H_{ax}, große Kopplung entfällt); 1.85 ("d"; 3H, 3,5-H_{eq}; 4-H_{eq}); 1.43 ("q"; 1H, 4-H_{ax}).- Einstrahlung bei 2.20 ppm (3,5-H_{ax}): 11.16 (s, br; 1H, N⁺H, unverändert); 4.24 (d; 2H, -CH₂-N⁺H-, unverändert); 3.45 ("d"; 2H, 2,6-H_{eq}, unverändert); 2.79 ("t"; 2H, 2,6-H_{ax}, große Kopplung entfällt); 1.85 ("s"; 3H, 3,5-H_{eq}; 4-H_{eq}, Kopplung entfällt); 1.43 ("s", br: 1H, 4-H_{ax}, große Kopplung enfällt).

N-Methylpiperidinium-chlorid (27·HCl)

Aus N-Methylpiperidin mit konz. HCl in wenig Methanol; Schmp. 211-212°C (211-212°C nach 14),- 1 H-NMR (CDCl3, 300 MHz): δ (ppm) = 11.78 (br; 1H, N $^+$ H, aust.); 3.46 ("d"; 2H, 2,6-Heq, 2 J = 12.2 Hz); 2.87 ("q"; 2H, 2,6-Hax, 2 J \sim 11 Hz); 2.82 (d; 3H, >N $^+$ H-CH3, 3 J(NH,CH) = 5.0 Hz, nach D2O s); 2.18 ("q"; 2H, 3,5-Hax, 2 J \sim 12.5 Hz); 1.89 ("d"; 3H, 3,5-Heq; 4-Heq, "J" \sim 13 Hz); 1.47 ("q"; 1H, 4-Hax, 2 J \sim 13 Hz).

Piperidinium-chlorid (28·HCl)

Herkunft: Merck, z.S., umkristallisiert aus Ethanol/Ether. Schmp. 241-244°C (244-246°C nach 15) - 1 H-NMR (CD₂Cl₂, 300 MHz, Tieftemperaturmessung bei -90°C): δ (ppm) = 9.52 ("d", br; 1H, N⁺H, H_{eq}, aust.); 9.24 ("q", br; 1H, N⁺H, H_{ax}, aust.); 3.44 ("d"; 2H, 2,6-H_{eq}, 2 J ~ 12 Hz); 2.83 ("q", br; 2H, 2,6-H_{ax}); 1.84 ("s", br; 5H, 3,5-H_{ax}; 3,5-H_{eq}; 4-H_{eq}), 1.43 ("q"; 1H, 4-H_{ax}).

Literatur

- H. Möhrle und G. Schulte Herbrüggen, Arch.Pharm. (Weinheim) 323, 433 (1990).
- 2 G. Schulte Herbrüggen, Dissertation Düsseldorf 1988.
- 3 K. Hartke und U. Lohmann, Dtsch.Apoth.Ztg. 123, 1013 (1983).
- 4 F.J. Bullock, J.W. Tweedie und D.D. McRitchie, J.Chem.Soc.C 1968, 1799.
- 5 V.M. Belikov, Yu.N. Belokon, M.M. Dolgaya und N.S. Martinkova, Tetrahedron 26, 1199 (1970).
- 6 K. Dixon und J.V. Greenhill, J.Chem.Soc., Perkin Trans. 2, 164 (1974).
- 7 C.E. Dalgliesh, J.Am.Chem.Soc. 71, 1697 (1949).
- 8 J.B. Lambert und J.E.Goldstein, J.Am.Chem.Soc. 99, 5689 (1977).
- 9 L. Canuel und M. St-Jacques, J.Org.Chem. 41, 1380 (1976).
- 10 M. Anteunis, D. Tavernier und F. Borremans, Bull.Soc.Chim.Belg. 75, 396 (1966).
- 11 E.L. Eliel, V.S. Rao, F.W. Vierhapper und G.Z. Juaristi, Tetrahedron Lett. 1975, 4339.
- 12 L.F. Fieser und M. Fieser, J.Am.Chem.Soc. 57, 491 (1935).
- 13 C. Schotten, Ber.Dtsch.Chem.Ges. 15, 423 (1882).
- 14 A.P. Phillips und J. Mentha, J.Am. Chem. Soc. 77, 6393 (1955).
- 15 T.B. Grave, J.Am.Chem.Soc. 46, 1460 (1924).

[Ph733]